

ЛИТЕРАТУРА

1. Gilbarg D., Shiffman M. On bodies achieving extreme values of the critical Mach number.— J. Rat. Mech. and Anal., 1954, vol. 3, N 2.
2. Чаплыгин С. А. Собр. соч. Т. 2. М.—Л.: Изд-во техн.-теор. лит., 1948.
3. Southwell R. V., Vaisey G. Fluid motions characterized by «free» stream-lines.— Philos. Trans. Roy. Soc. Lond. Ser. A, 1946, vol. 240, N 815.
4. Garabedian P. R., Spencer D. C. Extremal methods in cavitation flow.— J. Rat. Mech. and Anal., 1952, vol. 1, N 3.
5. Биргоф Г., Сарантонелло Э. Струи, следы и каверны. М.: Мир, 1964.
6. Кожуро Л. А. Расчет осесимметричного струйного обтекания тел по схеме Рябушинского.— Учен. зап. ЦАГИ, 1980, т. 11, № 5.
7. Кожуро Л. А. Семейство осесимметричных вихревых течений с поверхностью разрыва постоянной Бернулли.— ПММ, 1981, т. 45, № 1.

УДК 532.516

ТЕЧЕНИЕ ВЯЗКОЙ ПЛЕНКИ СО СВОБОДНЫМИ КРАЯМИ В ОДНОМЕРНОМ ПРИБЛИЖЕНИИ

В. В. Попов
(Ленинград)

Для описания течений вязкой пленки по поверхности невязкой жидкости в [1] была предложена система уравнений (обозначения те же)

$$(1) \quad \frac{\partial H}{\partial t} + \frac{\partial H v_k}{\partial x_k} = \dot{0}, \quad \rho \bar{H} \frac{dv_i}{dt} = \frac{\partial S_{ik}}{\partial x_k},$$

$$S_{ik} = -p \delta_{ik} + 3\mu H \frac{\partial v_j}{\partial x_j} \delta_{ik} + \mu H \left(\frac{\partial v_i}{\partial x_k} + \frac{\partial v_k}{\partial x_i} - \frac{\partial v_j}{\partial x_j} \delta_{ik} \right),$$

$$p = \rho (1 - \rho/\rho_1) gH^2/2, \quad i, j, k = 1, 2.$$

В выражении для тензора напряжений S_{ik} первый член — суммарное по толщине пленки гидростатическое давление с учетом погружения пленки в нижнюю жидкость, второй описывает вязкие силы, связанные с ее растяжением, третий соответствует деформации сдвига.

Пусть пленка со свободными боковыми краями течет в направлении оси Ox , которую будем считать осью симметрии. Предположим также, что толщина пленки H , ее продольная скорость u и ширина W являются функциями времени и медленно меняющимися функциями координаты x . Это позволит перейти к одномерному описанию течения. Пусть на боковые края $y = \pm W/2$ действуют симметричные относительно оси Ox силы $F = (F_x/2, F_y)$, $F' = (F_x/2, -F_y)$ в расчете на единицу длины края. При этом пленка растягивается в поперечном направлении силами F_y и $-F_y$, в продольном направлении на оба края в сумме действует сила F_x . Применение к системе (1) процедуры, с помощью которой она сама была получена из трехмерных уравнений Навье — Стокса, дает систему уравнений для функций H , W , u от переменных x , t :

$$(2) \quad \frac{\partial HW}{\partial t} + \frac{\partial HWu}{\partial x} = 0,$$

$$\rho HW \frac{du}{dt} = \frac{\partial}{\partial x} \left[W \left(-\frac{p}{2} + 3\mu H \frac{\partial u}{\partial x} + \frac{F_y}{2} + \frac{F_x}{8} \frac{\partial W}{\partial x} \right) \right] + F_x,$$

$$\frac{dW}{dt} = \frac{W}{4\mu H} \left[F_y + F + \frac{F_x}{4} \frac{\partial W}{\partial x} \right] - \frac{W}{2} \frac{\partial u}{\partial x}.$$

Вязкие эффекты в уравнении для импульса даются членом $3\mu HW \partial u / \partial x$. Как известно, для течений растяжения коэффициент пропорциональности между вязкими напряжениями и скоростью деформации равен 3μ [2]. При математическом описании таких течений, встречающихся в задачах о формовании различных изделий, обычно полагают, что на боковую поверхность изделия не действуют никакие силы и конфигурация его

поперечного сечения не меняется (например, [3]). В нашем случае изменения толщины и ширины пленки подчиняются различным законам.

Из системы (2) можно найти силы F_x , F_y . Результат можно интерпретировать как решение задачи идентификации, когда по наблюдаемому движению определяются действующие силы, или задачи управления, когда находятся силы, которые нужно приложить к пленке, чтобы получить желаемый режим течения.

Для стационарных течений объемный расход жидкости будет постоянным: $Q = HWu$. Пусть $Q > 0$, что влечет $u > 0$. Тогда для сил получим следующие выражения:

$$F_x = \frac{d}{dx} \left(\rho Qu + Wp - 4\mu HW \frac{du}{dx} - 2\mu Hu \frac{dW}{dx} \right),$$

$$F_y = \frac{4\mu Hu}{W} \frac{dW}{dx} + 2\mu H \frac{du}{dx} - p - \frac{F_x}{4} \frac{dW}{dx}.$$

Для пленки постоянной ширины, если пренебречь инерцией и гидростатическим давлением, формулы приобретают простой вид

$$F_x = -4Q \frac{d}{dx} \left(\mu \frac{d \ln u}{dx} \right), \quad F_y = \frac{2\mu Q}{W} \frac{d \ln u}{dx}.$$

В рамках одномерной модели рассмотрим задачу о растекании пленки, когда на ее край ортогонально к нему действует сила $-\gamma$, равная коэффициенту растекания [1], при этом $F_x = \gamma \partial W / \partial x$, $F_y = -\gamma$. Вводя безразмерную толщину пленки $h = H/H_*$ (H_* — равновесная толщина) и постоянную $\kappa = \rho g(1 - \rho/\rho_1)H_*/8\mu$, перепишем систему (2) в виде ($\nu = \mu/\rho$)

$$(3) \quad \frac{\partial hW}{\partial t} + \frac{\partial hWu}{\partial x} = 0, \quad \frac{dW}{dt} = W \left[\frac{\kappa}{h} (h^2 - 1) - \frac{1}{2} \frac{\partial u}{\partial x} \right],$$

$$hW \frac{du}{dt} - \frac{\partial}{\partial x} \left\{ W\nu \left[-2\kappa (h^2 - 1) + 3h \frac{\partial u}{\partial x} \right] \right\}.$$

Система уравнений, практически эквивалентная (3), для течений, возникающих под действием продольной растягивающей силы, численно решалась в [4], где приведено сравнение результатов расчетов с данными эксперимента. Для медленных стационарных течений (3) можно решить аналитически. Последнее уравнение системы имеет интеграл

$$W\nu [-2\kappa(h^2 - 1) + 3h \partial u / \partial x] = C.$$

Если внешние растягивающие усилия отсутствуют, то $h \rightarrow 1$, $\partial u / \partial x \rightarrow 0$ при $x \rightarrow \infty$, отсюда $C = 0$. Оставшиеся уравнения (3) приобретают вид

$$dh/dt + (4\kappa/3)(h^2 - 1) = 0, \quad dW/dt = (2\kappa W/3h)(h^2 - 1).$$

Пусть при $x = 0$ пленка ширины W_0 , толщины h_0 движется со скоростью u_0 . Через промежуток времени $\tau = t - t_0$ толщина элемента, имевшего в момент t_0 координату $x = 0$, будет равна

$$h(\tau) = 1 + 2/[e^{8\kappa\tau/3}(h_0 + 1)/(h_0 - 1) - 1],$$

его ширина и положение даются выражениями

$$W(\tau) = W_0 (h_0/h(\tau))^{1/2}, \quad x(\tau) = u_0 \sqrt{h_0} \int_0^\tau d\tau' / \sqrt{h(\tau')}.$$

При $x \rightarrow \infty$ ширина пленки стремится к значению $W_0 \sqrt{h_0}$.

При рассмотрении эффектов, вызванных поперечными растягивающими силами, будем считать пленку очень вязкой и пренебрегать гидростатическим давлением и силами инерции. В стационарном случае при $F_x = 0$ из (2) получим

$$(4) \quad 3\mu HW du/dx + WF_y/2 = C.$$

Постоянная C определяется из граничных условий. Она равна продольной силе, приложенной к сечению пленки на конце $x = L$, если в этой точке $F_y = 0$. С учетом соотношения $Q = HWu = H_0W_0u_0$ из (4) и последнего уравнения (2) получаем уравнение для W :

$$(5) \quad dW/dx + CW/(6\mu Q) - F_y W^2/(3\mu Q) = 0.$$

При постоянных F_y и μ оно имеет решение (при $a = C/(6\mu Q)$, $b = 2F_y W_0/C$)

$$(6) \quad W = W_0/[b + (1 - b)e^{ax}].$$

Остальные величины определяются формулами

$$(7) \quad u = u_0 \sqrt{b + (1 - b)e^{ax}} e^{3ax/2}, \quad H = H_0 \sqrt{b + (1 - b)e^{ax}} e^{-3ax/2}.$$

При $b = 1$ ширина пленки остается постоянной, при $b < 1$ она убывает с ростом x , при $b > 1$ возрастает, обращаясь в бесконечность при $x_* = (1/a) \ln [b/(b - 1)]$ (см. фигуру). Отметим два предельных случая. Когда поперечные силы малы,

$$(8) \quad u = u_0 e^{2ax}, \quad H/H_0 = W/W_0 = \sqrt{u_0/u}.$$

Когда продольные силы малы,

$$(9) \quad W = W_0/(1 - F_y W_0 x / 3\mu Q), \quad u/u_0 = H/H_0 = \sqrt{W_0/W}.$$

Пользуясь уравнением (5), можно определить действие на пленку точечной силы $F_y = f\delta(x - x_0)$. Обозначая $W_{\pm} = W(x_0 \pm 0)$, для изменения ширины будем иметь формулу $1/W_{+} = 1/W_{-} - f/3\mu Q$, для остальных величин (обозначения аналогичны) $u_{+}/u_{-} = H_{+}/H_{-} = \sqrt{W_{-}/W_{+}}$.

Рассмотрим поведение элементарного цилиндра длины l из вязкого материала под действием приложенной к торцам растягивающей силы $F(t)$. Из уравнений

$$3\mu S \partial u / \partial x = F, \quad \partial u / \partial x = (dl/dt)/l, \quad lS = l_0 S_0$$

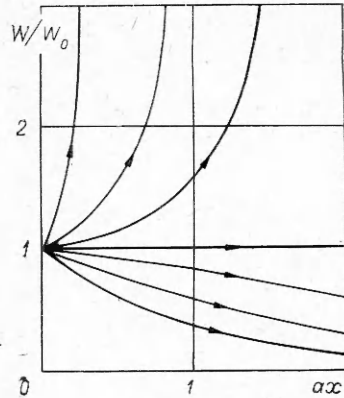
(S — площадь поперечного сечения) следует формула $1/l = 1/l_0 -$

$-\int_0^t F dt / 3\mu S_0 l_0$. Цилиндр разорвется, $l = \infty$, когда он поглотит критический импульс силы $P_* = 3\mu S_0$ независимо от его начальной длины.

Можно показать, что это правило определяет положение особой точки для решения (9), а также максимальное допустимое значение поперечной точечной силы f .

Хотя стационарное течение (8) формально существует при всех x , длина элемента материала станет бесконечной, когда он получит импульс 3μ в расчете на единицу площади поперечного сечения, т. е. это течение фактически может существовать лишь на конечном отрезке оси Ox . Так же обстоит дело и в задаче о форме пленки, падающей под действием собственного веса, которая по существу совпадает с задачей о вязкой струе [5].

Если пленка растягивается одновременно в двух направлениях, то, хотя соотношение $P_* = 3\mu S_0$ перестает быть справедливым, порядок величины критического импульса, который разорвет пленку, не меняется. Так, для течения типа (6), (7) его максимальная величина не превосходит $4\mu S_0$.



ЛИТЕРАТУРА

1. Попов В. В. Течение вязкой пленки по поверхности невязкой жидкости. — ПМТФ, 1982, № 2.
2. Рейнер М. Деформация и течение. М.: Гостоптехиздат, 1963.
3. Буевич Ю. А., Скуратов В. К. О растяжении прядомой жидкости под действием собственного веса. — Изв. АН СССР. МЖГ, 1975, № 5.
4. Narayanaswamy O. S. A one-dimensional model of stretching float glass. — J. Amer. Ceram. Soc., 1977, vol. 60, N 1—2.
5. Trouton F. T. On the coefficient of viscous traction and its relation to that of viscosity. — Proc. Roy. Soc. Lond., 1906, vol. 77A, N 519.

УДК 532.546

ОТБОР ЖИДКОСТИ ИЗ ДЕФОРМИРУЕМОГО ПЛАСТА ЧЕРЕЗ ВЫСОКОПРОНИЦАЕМОЕ ОКНО

А. В. Колмогоров, В. Н. Николаевский

(Якутск, Москва)

1. В осесимметричном случае система уравнений упругонористого насыщенного жидкостью пласта состоит [1] из уравнений движения для твердой фазы:

$$(1.1) \quad \nabla^2 u_r - \frac{u_r}{r^2} + \frac{1}{1-2\nu} \frac{\partial e}{\partial r} - \frac{2(1-\nu)}{1-2\nu} g \frac{\partial p}{\partial r} = 0,$$

$$\nabla^2 u_z + \frac{1}{1-2\nu} \frac{\partial e}{\partial z} - \frac{2(1-\nu)}{1-2\nu} g \frac{\partial p}{\partial z} = 0,$$

$$\varepsilon = (1 - m_0) \beta_1 K, \quad g = (1 - \varepsilon) (1 - 2\nu) [2G(1 - m_0) (1 - \nu)]^{-1},$$

$$\nabla^2 = \frac{\partial^2}{\partial r^2} + \frac{1}{r} \frac{\partial}{\partial r} + \frac{\partial^2}{\partial z^2}, \quad e = \frac{\partial u_r}{\partial r} + \frac{u_r}{r} + \frac{\partial u_z}{\partial z};$$

уравнений движения жидкости:

$$(1.2) \quad \frac{k}{\mu} \frac{\partial p}{\partial r} = -m_0 \left(\dot{w}_r - \frac{\partial u_r}{\partial t} \right), \quad \frac{k}{\mu} \frac{\partial p}{\partial z} = -m_0 \left(\dot{w}_z - \frac{\partial u_z}{\partial t} \right)$$

и уравнений неразрывности для твердой и жидкой фаз:

$$(1.3) \quad \frac{\partial m}{\partial t} + \frac{\beta_1}{3} \frac{\partial \theta^f}{\partial t} - \beta_1 (1 - m_0) \frac{\partial p}{\partial t} - (1 - m_0) \frac{\partial e}{\partial t} = 0;$$

$$(1.4) \quad \frac{\partial m}{\partial z} + \beta_2 m_0 \frac{\partial p}{\partial z} - m_0 \left(\frac{\partial w_r}{\partial r} + \frac{w_r}{r} + \frac{\partial w_z}{\partial z} \right) = 0;$$

$$(1.5) \quad \theta^f = \sigma_{rr}^f + \sigma_{\theta\theta}^f + \sigma_{zz}^f = 2G(1 - m_0)(1 + \nu)(1 - 2\nu)^{-1} e + 3\varepsilon p.$$

Здесь переменными являются отклонения от стационарных значений величин и приняты следующие обозначения: m — пористость (m_0 — ее начальное значение); u_i — компонента перемещения твердой фазы; w_i — компонента скорости движения жидкости; e — объемная деформация твердой фазы; p — поровое давление; σ_{ij} — напряжение в твердой фазе; σ_{ij}^f — эффективное напряжение Терцаги; θ^f — его первый инвариант; k — проницаемость; μ — вязкость жидкости; β_1 и β_2 — коэффициенты сжимаемости материала твердой и жидкой фаз; K , G , ν — модули сжатия, сдвига и коэффициент Пуассона матрицы пласта.

Пусть вязкая жидкость отбирается из замкнутого пласта радиуса R и мощности $2h$ через плоскую горизонтальную трещину радиуса ρ с дебитом $Q(t)$. В случае высокоэффективного крупномасштабного гидроразрыва [2] радиус ρ может быть сравним с R и значительно превосходить h . Для упрощения примем, что депрессия в пласте из-за отбора жидкости не вызывает изменения полного напряжения, иначе говоря, горного дав-